

SO₄²⁻ 浓度对 304 不锈钢在 NaCl 溶液中点蚀行为影响的研究

Effect of SO₄²⁻ Concentration on 304 Stainless Steel Pitting Corrosion in NaCl Solution

杜楠¹, 田文明¹, 赵晴¹, 孟保利²

(1 南昌航空大学 轻合金加工科学与技术国防重点学科实验室, 南昌 330063;

2 中航工业西安飞机工业(集团)有限责任公司, 西安 710089)

DU Nan¹, TIAN Wen-ming¹, ZHAO Qing¹, MENG Bao-li²

(1 National Defence Key Discipline Laboratory of Light Alloy Processing Science and Technology Institute, Nanchang Hangkong University, Nanchang 330063, China;

2 AVIC Xi'an Aircraft Industry (Group) Company Ltd., Xi'an 710089, China)

摘要: 利用动电位极化、电化学阻抗谱(EIS)和激光电子散斑干涉(ESPI)研究了 3.5%NaCl 溶液中, SO₄²⁻ 浓度对 304 不锈钢点蚀行为的影响。使用 0.3V(vs SCE)极化条件下的计时电流法结合 ESPI 确定了点蚀诱导时间。结果表明:当 SO₄²⁻ 浓度为 0.5% 时, 不锈钢的耐蚀性最差; 当 SO₄²⁻ 浓度低于 1% 时, 不锈钢的耐蚀性较不存在 SO₄²⁻ 时的耐蚀性差; 当 SO₄²⁻ 浓度高于 1% 时, 不锈钢的耐蚀性较不存在 SO₄²⁻ 时的耐蚀性好。在 3.5%NaCl+0.5%Na₂SO₄ 溶液中, 点蚀诱导时间是 4s, 在 3.5%NaCl 溶液中和 3.5%NaCl+4%Na₂SO₄ 溶液中点蚀诱导时间分别是 9s 和 94s。

关键词: 304 不锈钢; 点蚀; 激光电子散斑干涉技术; 硫酸根离子

中图分类号: TG174 文献标识码: A 文章编号: 1001-4381(2012)07-0064-07

Abstract: Effect of SO₄²⁻ concentration on 304 stainless steel pitting corrosion in 3.5%NaCl solution was investigated by means of dynamic potential polarization, electrochemical impedance spectroscopy (EIS) and electronic speckle pattern interferometer (ESPI). The pitting induction time τ under 0.3V (vs SCE) polarization was detected by means of ESPI and chronoamperometry. The results showed that the stainless steel corrosion resistance was the worst when the SO₄²⁻ concentration was 0.5%. When the SO₄²⁻ concentration was below 1%, the corrosion resistance was worse than that having no SO₄²⁻. When the SO₄²⁻ concentration was beyond 1%, the corrosion resistance was better. The pitting induction time τ of the 304 stainless steel were 4s, 9s and 94s in 0.5%NaCl+0.5%Na₂SO₄ solution, 3.5%NaCl solution and 3.5%NaCl+4%Na₂SO₄ solution respectively.

Key words: 304 stainless steel; pitting; ESPI; SO₄²⁻

304 不锈钢是应用最为广泛的一种铬-镍不锈钢, 具有优良的不锈耐腐蚀性能和较好的抗晶间腐蚀性能, 耐热性、低温强度和力学性能优良, 同时具有良好的加工性和可焊性, 广泛应用于家庭用品、建材、化学、食品等工业。但在海水和其他含氯介质中则容易发生点蚀。点蚀^[1,2]是不锈钢失效的主要形式之一, 严重时能导致设备穿孔, 在实际生产中存在很大的隐患。研究表明, 点蚀主要由侵蚀性阴离子 Cl⁻引起, 当溶液中还存在其他离子时, 可能加速材料的腐蚀, 也可能减缓材料的腐蚀。Sherbini 等^[3]发现阴离子抑制剂对 Zn 溶解和点蚀发生的抑制程度与离子种类和浓度有关; 葛红花等^[4]研究了冷却水中 SO₄²⁻ 对不锈钢冷凝

器的缓蚀作用, 认为 SO₄²⁻ 在金属氧化物表面上发生竞争性吸附, 置换出表面的 Cl⁻, 从而使点蚀受到抑制; Lee 等人^[5]通过 SO₄²⁻ 与 Cl⁻ 的协同效应对纯 Al 点蚀电位影响的研究, 发现 SO₄²⁻ 会阻碍点蚀的发生, 但会加速点蚀的发展。SO₄²⁻ 对钝性金属在含 Cl⁻ 水溶液中点蚀行为的影响, 存在加速点蚀和抑制点蚀两种情况, 并且加速或者抑制与 SO₄²⁻ 的浓度密切相关。

激光电子散斑干涉 (Electronic Speckle Pattern Interferometry, ESPI) 是 20 世纪 70 年代初发展起来的以激光、光电子技术及数字图像处理为基础的现代光学测量方法^[6-8]。ESPI 可以对材料表面形变进行原位、全场、高精度、动态连续的监测。王梅丰等人利

用 ESPI 监测 45# 碳钢在 0.5mol/L NaHCO₃ + 0.05mol/L NaCl 体系中的局部腐蚀行为时发现,当电极表面发生点蚀时,ESPI 图像上会出现亮斑,亮斑由电极表面点蚀产物扩散引起,它与电极表面蚀点一一对应^[9,10]。从 ESPI 视频中可以确定电极材料表面发生点蚀的时刻和位置^[11]。本工作采用动电位极化法、电化学阻抗技术(EIS)和 ESPI 研究了不同浓度的 SO₄²⁻ 对 304 不锈钢在 3.5% (质量分数,下同) NaCl 溶液中点蚀行为的影响。

1 实验方法

研究电极为 304 不锈钢,化学成分由 QSN750 直读光谱测出,如表 1 所示。用线切割技术将电极加工成 φ10mm 的圆片。电极用酚醛树脂镶嵌,焊接导线,非工作面用环氧树脂密封。实验前工作面依次用 150#, 400#, 600#, 800# Al₂O₃ 水砂纸打磨平整,经去离子水洗并吹干后,依次用酒精、丙酮擦拭,然后放入干燥皿中备用。

表 1 304 不锈钢的化学成分(质量分数/%)

Table 1 Chemical composition of 304 stainless steel (mass fraction/%)

Material	C	Si	Mn	P	S	Cr	Ni	Mo	Ti	Fe
304	0.049	0.573	1.283	0.033	0.001	17.49	8.19	0.045	0.006	Bal

电化学测试采用三电极体系,辅助电极为铂片,参比电极为饱和甘汞电极(SCE),通过盐桥与工作电极连接。研究采用的设备为电化学工作站 Autolab PG-STAT30,通过设备附带软件完成实验控制。EIS 测试在开路电位稳定后进行,激励信号是幅值为 5mV 的正弦交流电,测量频率范围为 10⁵~10⁻² Hz。动电位极化测试在开路电位稳定后进行,先阴极极化,后阳极极化,扫描速率为 20mV/min。

ESPI 监测系统由迈克尔逊干涉光路、图像采集卡和相应的数据处理软件组成。其中迈克尔逊干涉光路由氦氖激光器,散斑测量光路系统和 CCD 摄像头等部分组成^[12]。所有光学器件及电解池装置都固定在防震水平台上。

采用分析纯 NaCl, Na₂SO₄ 和二次蒸馏水配置成含有不同浓度 SO₄²⁻ 的 3.5% 的 NaCl 溶液。EIS、动电位极化曲线和 ESPI 测试实验温度分别为 35, 30, 28°C。实验溶液未经除氧处理,溶液 pH 值用 NaOH 水溶液和稀盐酸调整。

2 结果与讨论

2.1 动电位极化曲线

图 1 是 304 不锈钢在 Cl⁻ 浓度为 3.5%, SO₄²⁻ 浓度分别为 0%, 0.3%, 0.5%, 0.8%, 1%, 2%, 3.5%, 4% 溶液中的动电位极化曲线。由曲线得到的点蚀破裂电位 E_b 与 SO₄²⁻ 浓度的关系见图 2。

不锈钢在含 Cl⁻ 的介质中,电极电位朝正方向扫描到钝化区的某一电位时,由于发生点蚀,会出现电流密度突增的现象,则该点电位称为点蚀破裂电位

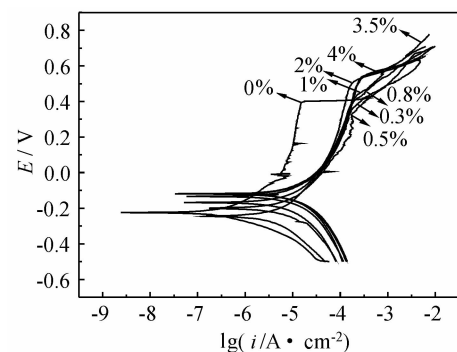


图 1 304 不锈钢电极在含不同浓度 SO₄²⁻ 的 3.5% NaCl 溶液中的动电位极化曲线($T=30^\circ\text{C}$)

Fig. 1 Dynamic potential polarization curves of 304 stainless steel in 3.5% NaCl solution with different SO₄²⁻ concentration($T=30^\circ\text{C}$)

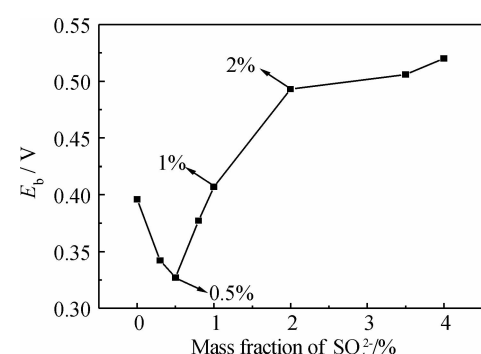


图 2 304 不锈钢点蚀破裂电位 E_b 与 SO₄²⁻ 浓度的关系

Fig. 2 Curve of E_b and SO₄²⁻ concentration for 304 stainless steel in 3.5% NaCl solution

E_b ^[13]。其值越正,材料的耐点蚀性能越好。由图 1 和图 2 可知,在 SO₄²⁻ 浓度低于 0.5% 时,304 不锈钢的

点蚀破裂电位 E_b 随 SO_4^{2-} 浓度的增加而减小; 当 SO_4^{2-} 浓度大于 0.5% 时, 随着 SO_4^{2-} 浓度的增加, 304 不锈钢的 E_b 逐渐正移; E_b 值在 SO_4^{2-} 浓度为 0.5% 时取得极小值。当 SO_4^{2-} 浓度小于 1% 时, 不锈钢的 E_b 低于不存在 SO_4^{2-} 时的 E_b ; 当 SO_4^{2-} 浓度大于等于 1% 时, 不锈钢的 E_b 高于不存在 SO_4^{2-} 时的 E_b 。当 SO_4^{2-} 浓度大于 2% 时, 随着 SO_4^{2-} 浓度的继续增加, E_b 增大较为平缓。

一般认为, 在含有 Cl^- 的腐蚀体系中, 点蚀的诱发动力学过程分为三步: Cl^- 的吸附, 吸附的 Cl^- 与钝化膜中的金属阳离子形成氯化物, 该氯化物快速溶解。如果存在其他离子能够影响上述过程, 就能影响点蚀的发生。在不存在 SO_4^{2-} 的 NaCl 溶液中, Cl^- 均匀地吸附在不锈钢表面, 造成钝化膜的加速溶解, 个别薄弱处最先露出基体。在 SO_4^{2-} 和 Cl^- 共存的水溶液中, SO_4^{2-} 和 Cl^- 在金属表面发生竞争吸附^[5,14], 此吸附过程是一个动态平衡过程, 存在离子吸附与脱附现象。当 SO_4^{2-} 浓度较低时(0%~1%), Cl^- 是主要的吸附离子, 但吸附在不锈钢表面的少量 SO_4^{2-} 由于在脱附与迁移过程中与 Cl^- 碰撞会使 Cl^- 分布随机性增大, 引起不锈钢表面局部 Cl^- 浓度远大于 Cl^- 平均浓度, 使该区域钝化膜破裂更加迅速, 点蚀敏感性增加, 即材料的 E_b 负移。实验结果表明, SO_4^{2-} 浓度为 0.5% 时, Cl^- 局部浓度增大的效果最明显, 即 E_b 最负。当 SO_4^{2-} 浓度较高时(1%~4%), SO_4^{2-} 成为主要吸附离子, 随着 SO_4^{2-} 浓度的增加, 吸附在不锈钢表面的 Cl^- 越来越少。在 Cl^- 和 SO_4^{2-} 的竞争吸附过程中, 虽然 Cl^- 也在不锈钢表面迁移, 但是由于其有效浓度较低, 不易引起 Cl^- 在不锈钢表面局部区域瞬时集中, 此时不锈钢的点蚀敏感性降低, 即材料的 E_b 逐渐正移。由图 2 亦可知, 当 SO_4^{2-} 浓度在 1%~2% 之间时, 点蚀破裂电位 E_b 迅速升高, 表明不锈钢表面局部区域 Cl^- 浓度瞬间升高的可能性迅速降低; 当 SO_4^{2-} 浓度大于 2% 时, E_b 变化较为平缓, 表明 SO_4^{2-} 与 Cl^- 碰撞引起 Cl^- 分布趋于平均。

2.2 不同浓度 SO_4^{2-} 对 304 不锈钢电化学阻抗谱的影响

图 3 是 304 不锈钢在 SO_4^{2-} 浓度分别为 0%, 0.3%, 0.5%, 0.8%, 1%, 2%, 3.5%, 4% 的 NaCl 溶液中浸泡不同时间的电化学阻抗谱复数平面图。通过等效电路拟合得到的电极在这 8 种溶液中的电荷转移电阻 R_t 随浸泡时间的变化曲线见图 4。

由图 3 可知, 304 不锈钢电极在这 8 种溶液中的阻抗图谱均表现为一单容抗弧, 表明电极表面均处于

稳定的钝化状态^[15]。随着浸泡时间的延长, 304 不锈钢电极在这 8 种溶液中的单容抗弧半径均逐渐减小, 表明耐蚀性不断降低。

R_t 表示电极电化学反应过程中的电荷转移电阻, 其大小与不锈钢腐蚀速率成反比, 它能一定程度上反映不锈钢的腐蚀速率。由图 4 可知, 在这 8 种溶液中, 304 不锈钢的 R_t 均随着浸泡时间的延长不断降低, 表明材料的腐蚀速率不断增加。在相同的浸泡时间内, 当溶液中 SO_4^{2-} 浓度为 4% 时, R_t 最大, 表明材料在该溶液中耐蚀性最好; 当溶液中 SO_4^{2-} 浓度为 0.5% 时, 其 R_t 最小, 表明材料在该溶液中耐蚀性最差; 当溶液中 SO_4^{2-} 浓度为 1%, 2%, 3.5% 时, 其 R_t 均比不含 SO_4^{2-} 的 NaCl 溶液高, 表明在这三种溶液中, 材料的耐蚀性较不含 SO_4^{2-} 的 NaCl 溶液好; 当 SO_4^{2-} 浓度为 0.3% 时, 其 R_t 比不含 SO_4^{2-} 的 NaCl 溶液低, 表明材料在该溶液中耐蚀性较不含 SO_4^{2-} 的 NaCl 溶液差。以上分析结果印证了动电位极化曲线的分析结果。

2.3 激光电子散斑干涉测试

图 5 是 304 不锈钢在 3.5% NaCl , 3.5% NaCl +0.5% Na_2SO_4 , 3.5% NaCl +4% Na_2SO_4 溶液中, 施加 0.3V(vs SCE) 恒电位极化时的计时电流曲线。三组曲线对应的 ESPI 图像分别见图 6~8。

由图 5(a) 可知, 在 3.5% NaCl 溶液中, 304 不锈钢在 0.3V(vs SCE) 恒电位极化下, 极化电流先下降, 然后产生小幅度上升。极化至 6s 左右时, 极化电流呈锯齿形缓慢波动, 表明电极表面可能在经历钝化膜破裂与修复的交替过程。极化 9s 时, 极化电流为 0.3mA, ESPI 图(图 6(b)) 上出现两个亮斑, 表明电极表面在相应位置有点蚀产生。极化 15s 时, ESPI 图(图 6(c)) 上原有的两个亮斑一个略有长大且更加清晰, 另一个亮度相对变弱。极化 29s 时, ESPI 图(图 6(d)) 上原来亮度变弱的亮斑消失, 无腐蚀产物扩散现象, 这可能是由于电极表面相应位置的蚀孔发生了再钝化。另一亮斑继续长大并有向下扩散的趋势, 表明该处蚀孔不断生长, 腐蚀产物不断积累并在重力作用下向下移动。极化 50s 时, ESPI 图(图 6(e)) 上亮斑扩散趋势变大, 蚀孔继续生长, 腐蚀产物不断向外扩散。极化 120s 时, ESPI 图(图 6(f)) 上亮斑范围继续扩大, 腐蚀产物扩散到了较大的范围。

由图 5(b) 可知, 在 3.5% NaCl +0.5% Na_2SO_4 溶液中, 304 不锈钢在 0.3V(vs SCE) 恒电位极化下, 极化电流先下降, 然后随时间呈锯齿形上升, 表明电极表面可能在经历钝化膜破裂与修复的交替过程。

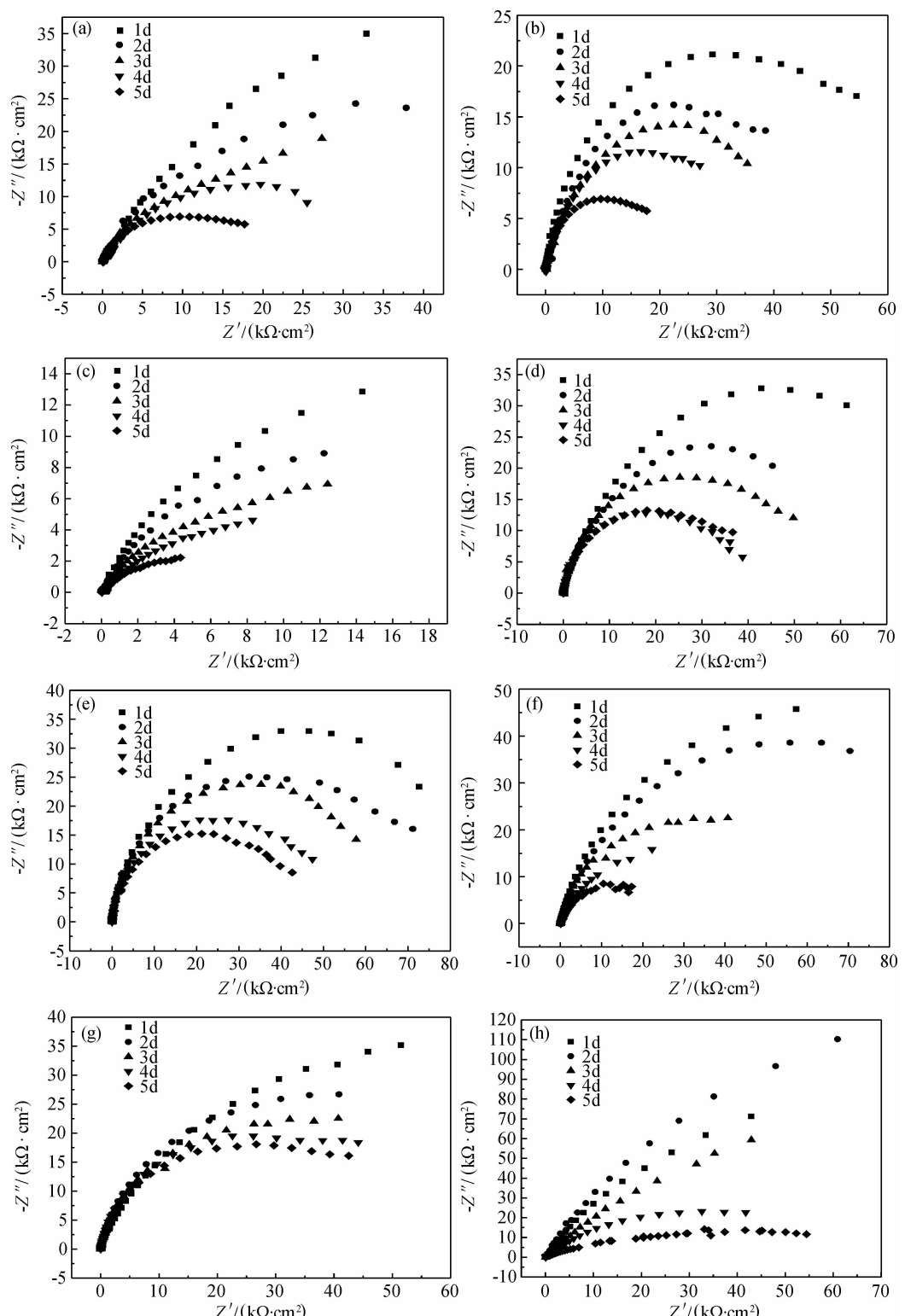


图 3 304 不锈钢电极在不同浓度 SO_4^{2-} 的 3.5% NaCl 溶液中浸泡不同时间后的电化学阻抗谱复数平面图 ($T=35^\circ\text{C}$)
(a) 0%; (b) 0.3%; (c) 0.5%; (d) 0.8%; (e) 1%; (f) 2%; (g) 3.5%; (h) 4%

Fig. 3 Nyquist plots at different immersion time for 304 stainless steel in 3.5% NaCl solution with different SO_4^{2-} concentration ($T=35^\circ\text{C}$)

(a) 0%; (b) 0.3%; (c) 0.5%; (d) 0.8%; (e) 1%; (f) 2%; (g) 3.5%; (h) 4%

304 不锈钢极化 4s 时, 极化电流为 0.2mA, ESPI 图(图 7(b))上出现了一个亮斑, 表明电极表面在该位

置处产生了一个蚀孔。极化 17s 时, ESPI 图(图 7(c))上的亮斑略有长大, 变得更加清晰, 表明该蚀孔在继

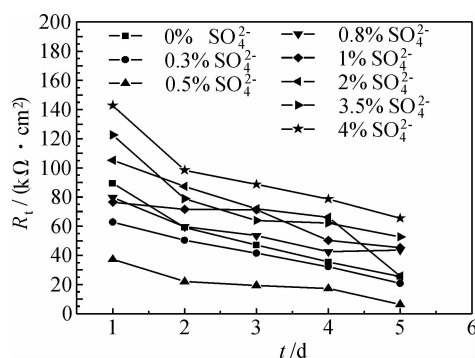


图 4 304 不锈钢电极在不同浓度 SO_4^{2-} 的 3.5% NaCl 溶液中电荷转移电阻 R_t 随浸泡时间的变化曲线

Fig. 4 Curves of charge transfer resistance R_t and immersion time for 304 stainless steel in 3.5% NaCl solution with different SO_4^{2-} concentration

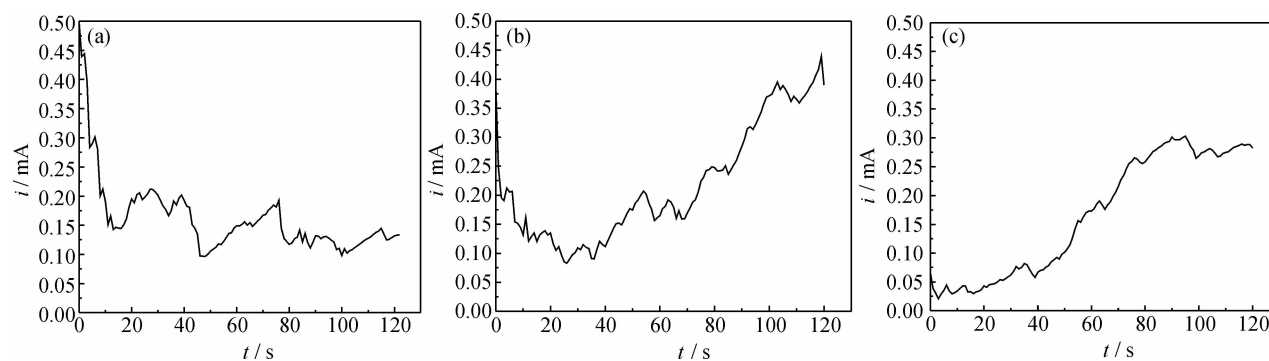


图 5 外加电位为 0.3V (vs SCE) 时 304 不锈钢在 3.5% NaCl (a), 3.5% NaCl+0.5% Na_2SO_4 (b), 3.5% NaCl+4% Na_2SO_4 (c) 三种溶液中的计时电流曲线 ($T=28^\circ\text{C}$)

Fig. 5 Chronoamperometry curves of 304 stainless steel at an applied potential of 0.3V (vs SCE) in different solution ($T=28^\circ\text{C}$)
(a) 3.5% NaCl; (b) 3.5% NaCl+0.5% Na_2SO_4 ; (c) 3.5% NaCl+4% Na_2SO_4

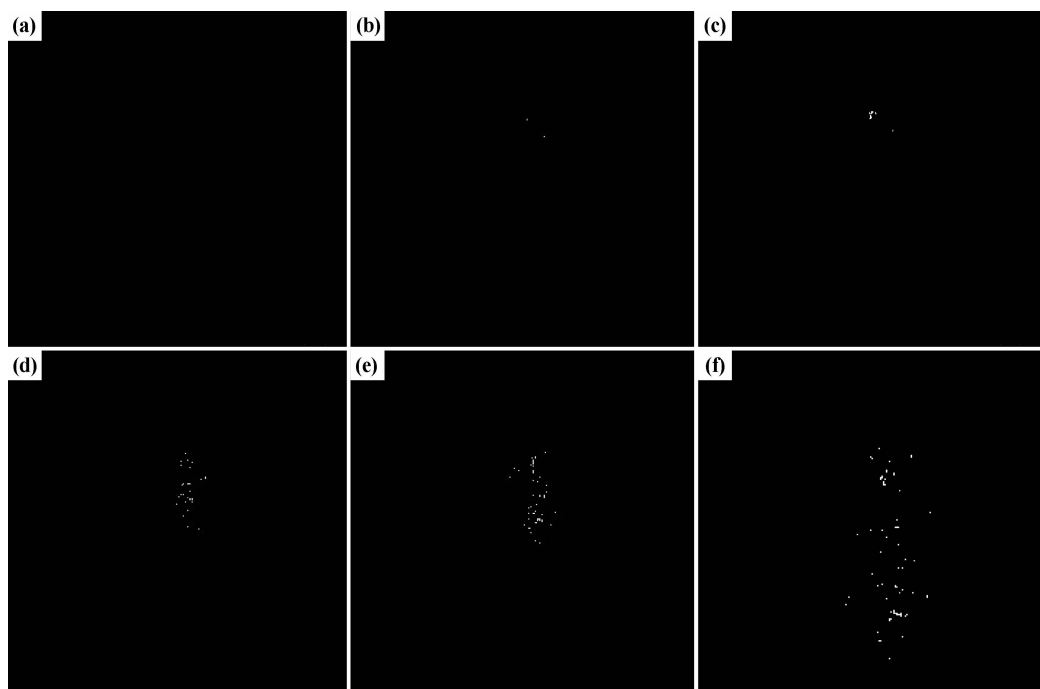
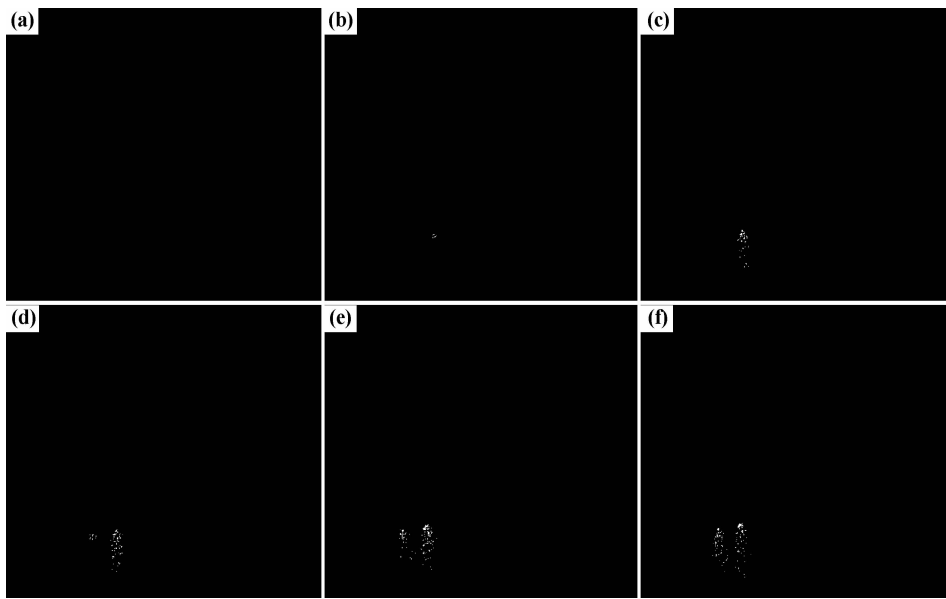


图 6 在外加电位为 0.3V (vs SCE) 时 304 不锈钢在 3.5% NaCl 溶液中的 ESPI 图像 ($T=28^\circ\text{C}$) (a) 0s; (b) 9s; (c) 15s; (d) 29s; (e) 50s; (f) 120s

Fig. 6 ESPI plots of 304 stainless steel in 3.5% NaCl solution at an applied potential of 0.3V (vs SCE) ($T=28^\circ\text{C}$)
(a) 0s; (b) 9s; (c) 15s; (d) 29s; (e) 50s; (f) 120s

续生长, 同时腐蚀产物在不断向外扩散。极化 67s 时, ESPI 图(图 7(d))上在原有亮斑的左方又出现了一个亮斑, 表明又有一个新的蚀孔在该处产生。极化 91s 时, ESPI 图(图 7(e))上两个亮斑继续增大, 并有向下扩散的趋势。极化 120s 时, 激光散斑干涉图(图 7(f))上两个亮斑变得更大, 表明随着极化反应的进行, 蚀孔内不断向外释放出腐蚀产物, 腐蚀产物在重力的作用下不断向下方扩散。

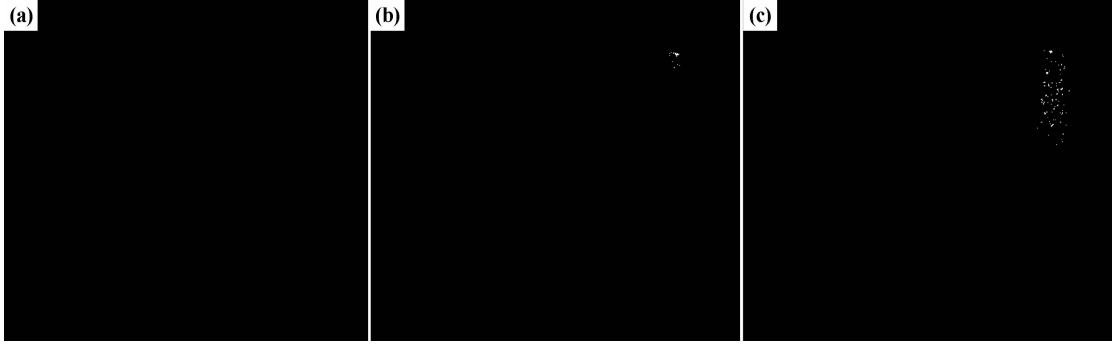
由图 5(c)可知, 在 3.5% NaCl+4% Na_2SO_4 溶液中, 304 不锈钢在 0.3V (vs SCE) 恒电位极化下, 极化电流随时间呈锯齿形上升。极化 94s 时, 极化电流为 0.3mA, ESPI 图(图 8(b))上出现了一个亮斑, 表明电极表面在相应位置产生了一个蚀孔。极化 120s 时,

图 7 在外加电位为 0.3V (vs SCE) 时 304 不锈钢在 3.5%NaCl+0.5%Na₂SO₄ 溶液中的 ESPI 图像 ($T=28^{\circ}\text{C}$)

(a)0s;(b)4s;(c)17s;(d)67s;(e)91s;(f)120s

Fig. 7 ESPI plots of 304 stainless steel in 3.5%NaCl+0.5%Na₂SO₄ solution at an applied potential of 0.3V (vs SCE) ($T=28^{\circ}\text{C}$)

(a)0s;(b)4s;(c)17s;(d)67s;(e)91s;(f)120s

图 8 在外加电位为 0.3V (vs SCE) 时 304 不锈钢在 3.5%NaCl+4%Na₂SO₄ 溶液中的 ESPI 图像 ($T=28^{\circ}\text{C}$)

(a)0s;(b)94s;(c)120s

Fig. 8 ESPI plots of 304 stainless steel in 3.5%NaCl+4%Na₂SO₄ solution at an applied potential of 0.3V (vs SCE) ($T=28^{\circ}\text{C}$)

(a)0s;(b)94s;(c)120s

ESPI 图(图 8(c))上亮斑长大, 变得更加清晰, 表明该蚀点在继续长大, 同时腐蚀产物不断地向外扩散。

点蚀感应时间(τ)是指在恒电位极化条件下蚀孔开始形成所需要的时间。 τ 值的大小随实验所使用的溶液成分不同而不同, 溶液的腐蚀性越强, 孔蚀感应时间越短。由以上 ESPI 监测结果可知, 在 0.3V (vs SCE) 恒电位极化下, 304 不锈钢在 3.5%NaCl+0.5%Na₂SO₄ 溶液中, 点蚀感应时间 τ 为 4s; 在 3.5%NaCl 溶液中, τ 为 9s; 在 3.5%NaCl+4%Na₂SO₄ 溶液中, 点蚀感应时间 τ 为 94s; 由此可以得出结论, 在这三种溶液中, 304 不锈钢的耐蚀性大小依次为 (3.5%NaCl+

+4%Na₂SO₄)>(3.5%NaCl)>(3.5%NaCl+0.5%Na₂SO₄)。这一结果印证了动电位极化和 EIS 的分析结果。

3 结论

(1) 不同浓度的 SO₄²⁻ 对 304 不锈钢的点蚀破裂电位 E_b 有不同的作用效果。当 SO₄²⁻ 浓度为 0.5% 时, 不锈钢的 E_b 最负; 当 SO₄²⁻ 浓度低于 1% 时, 不锈钢的 E_b 比不存在 SO₄²⁻ 离子时的 E_b 负; 当 SO₄²⁻ 浓度高于 1% 时, 不锈钢的 E_b 比不存在 SO₄²⁻ 离子时的

E_b 正。

(2)304 不锈钢在 8 种溶液中的 EIS 复数平面图均为一单容抗弧, 电极表面处于稳定的钝化状态。电荷转移电阻 R_t 都随着浸泡时间的延长而降低。在相同的浸泡时间内, 当 SO_4^{2-} 浓度为 0.5% 时, R_t 最小; 当 SO_4^{2-} 浓度为 4% 时, R_t 最大。

(3) 利用 ESPI 监测溶液中不锈钢点蚀行为时, 如果散斑图上出现亮斑, 表明材料表面对应位置发生了点蚀。由 ESPI 结果可知, 304 不锈钢在 3.5% $\text{NaCl} + 0.5\% \text{Na}_2\text{SO}_4$ 溶液中的点蚀感应时间 τ 为 4s; 在 3.5% NaCl 溶液中的 τ 为 9s; 在 3.5% $\text{NaCl} + 4\% \text{Na}_2\text{SO}_4$ 溶液中的 τ 为 94s。

参考文献

- [1] 周本省. 工业冷却水系统中金属的腐蚀与防护[M]. 北京: 化学工业出版社, 1993. 25.
- [2] 刘道新. 材料的腐蚀与防护[M]. 西安: 西北工业大学出版社, 2006. 119—120.
- [3] SHERBINI E E, REHIM S S. Pitting corrosion of zinc in Na_2SO_4 solutions and the effect of some inorganic inhibitors[J]. Corros Sci, 2000, 42(5): 785—789.
- [4] 解群, 葛红花. 冷却水中 SO_4^{2-} 对不锈钢管的缓蚀作用[J]. 上海电力学院学报, 2002, 2(6): 33—36.
- [5] LEE W J, PYUN S I. The effect of prior Cl^- ion incorporation into native oxide film on pure aluminium in neutral chloride solution on pit initiation[J]. Corrosion Science, 2001, 43(2): 353—363.
- [6] PETZING J N, TYRER J R. Recent development and applications in electronic speckle pattern interferometry [J]. The Journal of Strain Analysis for Engineering Design, 1998, 33(2): 153—169.
- [7] HABIB K, MUHANA K. Holographic interferometry as electrochemical emission spectroscopy of a carbon steel in 5—20 ppm

*** * * * *

(上接第 63 页)

- [14] STONE D E W, CLARKE B. Ultrasonic attenuation as a measure of void content in carbon-fiber reinforced plastics [J]. NDT, 1975, 8 (3): 137—139.

收稿日期: 2011-08-15; 修定日期: 2011-11-29

作者简介: 高晓进(1987—), 男, 硕士研究生, 主要研究方向为无损检

TROS C-70 inhibited seawater[J]. Optics and Lasers in Engineering, 2002, 38: 577—588.

- [8] HABIB K, BOURESLI K. Detection localized corrosion of stainless steels by optical interferometry[J]. Electrochemical Aata, 1999, 44(25): 4635—4641.
- [9] 王梅丰, 杜楠, 李晓刚, 等. 利用电子散斑干涉技术研究 45 碳钢在 $\text{NaHCO}_3 + \text{NaCl}$ 体系中的早期点蚀行为[J]. 中国腐蚀与防护学报, 2009, 29(3): 210—214.
- [10] WANG M F, LI X G, DU N, et al. Direct evidence of initial pitting corrosion[J]. Electrochemistry Communications, 2008, 10(7): 1000—1004.
- [11] DU Nan, LIU Gang, ZHAO Qing. Monitoring initial pitting behaviors of 30CrMnSi steel in NaHCO_3 - NaCl solution by ESPI and electrochemical noise[J]. Material Science, 2008, 2(3): 326—329.
- [12] WANG M F. Study on initial pitting corrosion behaviors and mechanisms of metals using electronic speckle pattern interferometry[D]. Beijing : University of Science and Technology Beijing, 2008.
- [13] 李狄. 电化学原理[M]. 北京: 北京航空航天大学出版社, 2008. 275—276.
- [14] WU J W, LI X G, DU C W, et al. Effects of Cl^- and SO_4^{2-} ions on corrosion behavior of X70 steel [J]. Journal of Materials Science and Technology, 2005, 21(1): 28—32.
- [15] 胡丽华, 杜楠, 王梅丰, 等. 1Cr18Ni9Ti 不锈钢在酸性 NaCl 溶液中的点蚀电化学特征[J]. 失效分析与预防, 2006, 1(3): 6—9.

基金项目: 国家自然科学基金项目(51071083)

收稿日期: 2011-10-08; 修定日期: 2012-03-26

作者简介: 杜楠(1956—), 男, 教授, 主要从事金属腐蚀与防护方面的研究工作, 联系地址: 南昌市丰和南大道 696 号南昌航空大学国防科技研究院 318 室(330063), E-mail: d_unan@sina.com

测、材料失效分析及预测预防, 联系地址: 北京市海淀区学院路 37 号北京航空航天大学 1 系 8 研(100191), E-mail: gao19870311@163.com
通讯作者: 张峰, 教授, 主要从事失效分析预测预防研究, 联系地址: 北京市海淀区学院路 37 号北京航空航天大学 1 系 8 研(100191), E-mail: zhangzh@buaa.edu.cn